

Рассмотрим краевую задачу:

$$y''(x) = f(x, y), \quad y(x_1) = y_1, \quad y(x_2) = y_2 \quad (1)$$

Методом Нумерова называется следующий метод аппроксимации задачи 1:

$$y_{n+1} - 2y_n + y_{n-1} = h^2 \left[ f_n + \frac{1}{12}(f_{n+1} - 2f_n + f_{n-1}) \right], \quad (2)$$

где  $h$  - шаг сетки,  $f_k = f(x_k, y_k)$ . Такая аппроксимация приближает исходную задачу во внутренних точках сеточной области с четвертым порядком.

Гамильтониан кубита:

$$\hat{H} = 4E_C \hat{n}^2 - E_J \cos \hat{\varphi} + \frac{1}{2} E_L (\hat{\varphi} - \varphi_{ext})^2, \quad \hat{n} = -i \frac{d}{d\varphi} \quad (3)$$

Стационарное уравнение Шрёдингера с граничными условиями:

$$-4E_C \frac{d^2 \psi}{d\varphi^2} - E_J \cos \varphi \cdot \psi + \frac{1}{2} E_L (\varphi - \varphi_{ext})^2 \psi = E \psi, \quad \psi(\pm\infty) = 0 \quad (4)$$

Введём обозначение:

$$G(\varphi, E) = \frac{E + E_J \cos \hat{\varphi} - \frac{1}{2} E_L (\varphi - \varphi_{ext})^2}{4E_C} \quad (5)$$

Тогда стационарное уравнение Шрёдингера примет вид:

$$\psi''(\varphi) = -G(\varphi, E) \cdot \psi(\varphi), \quad \psi(\pm\infty) = 0 \quad (6)$$

Применим к этому уравнению аппроксимацию 2:

$$\psi_{n+1} - 2\psi_n + \psi_{n-1} = h^2 \left[ G_n \psi_n + \frac{1}{12} (G_{n+1} \psi_{n+1} - 2G_n \psi_n + G_{n-1} \psi_{n-1}) \right] \quad (7)$$

Выразим  $\psi_{n+1}$ :

$$\psi_{n+1} = \frac{2(1 - \frac{5h^2}{12} G_n) \psi_n - (1 + \frac{h^2}{12} G_{n-1}) \psi_{n-1}}{1 + \frac{h^2}{12} G_{n+1}} \quad (8)$$

При расчёте подбираем энергию  $E$  и зависящие от неё коэффициенты  $G_k$  таким образом, чтобы выполнялись граничные условия  $\psi(\pm\infty) = 0$ .

Численно найдём уровни энергии кубита (рис. 1).

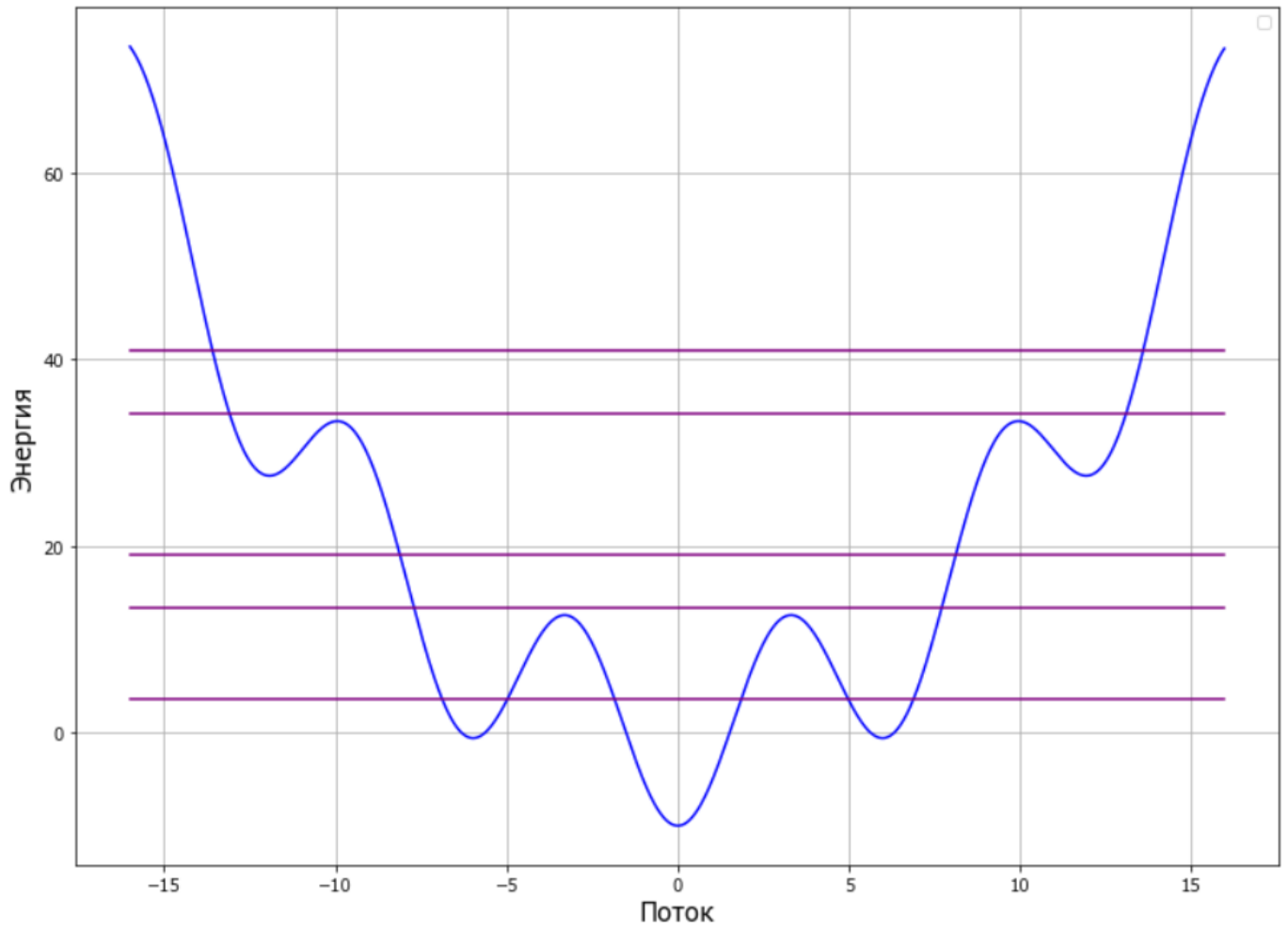


Рис. 1: Уровни энергии кубита при  $E_L = 0.5$ ,  $E_J = 10$ ,  $E_C = 20$

Построим численно спектр кубита  $E(\varphi_{ext})$  (рис. 2, 3).

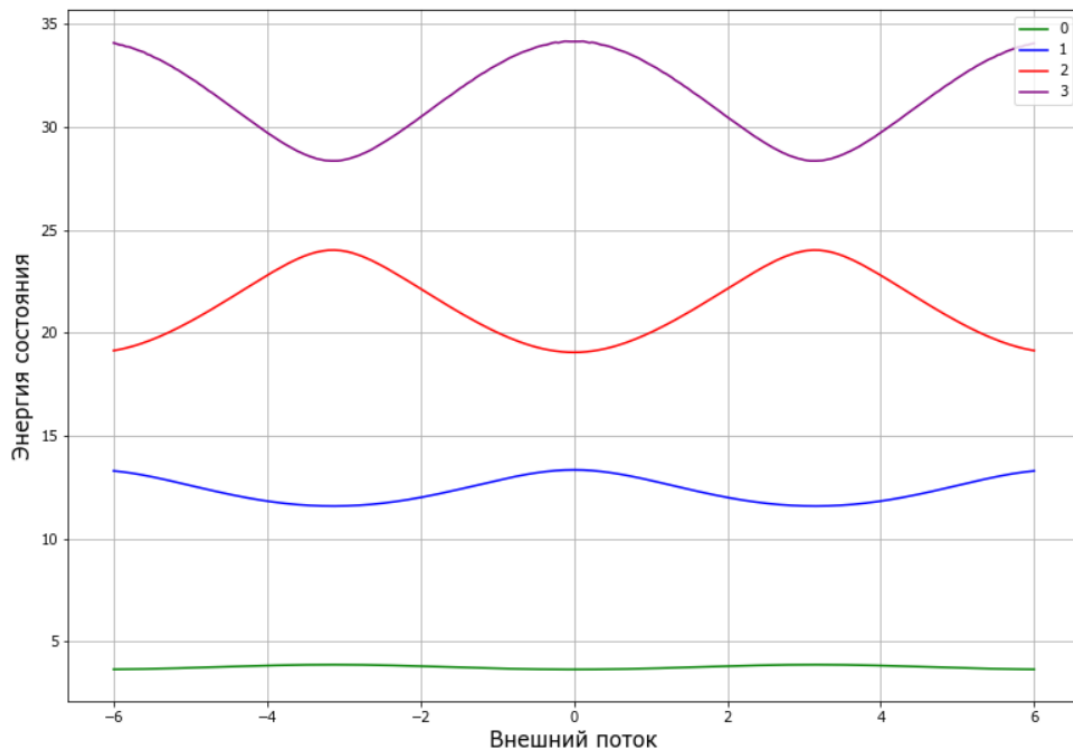


Рис. 2: Спектр кубита при  $E_L = 0.5$ ,  $E_J = 10$ ,  $E_C = 20$

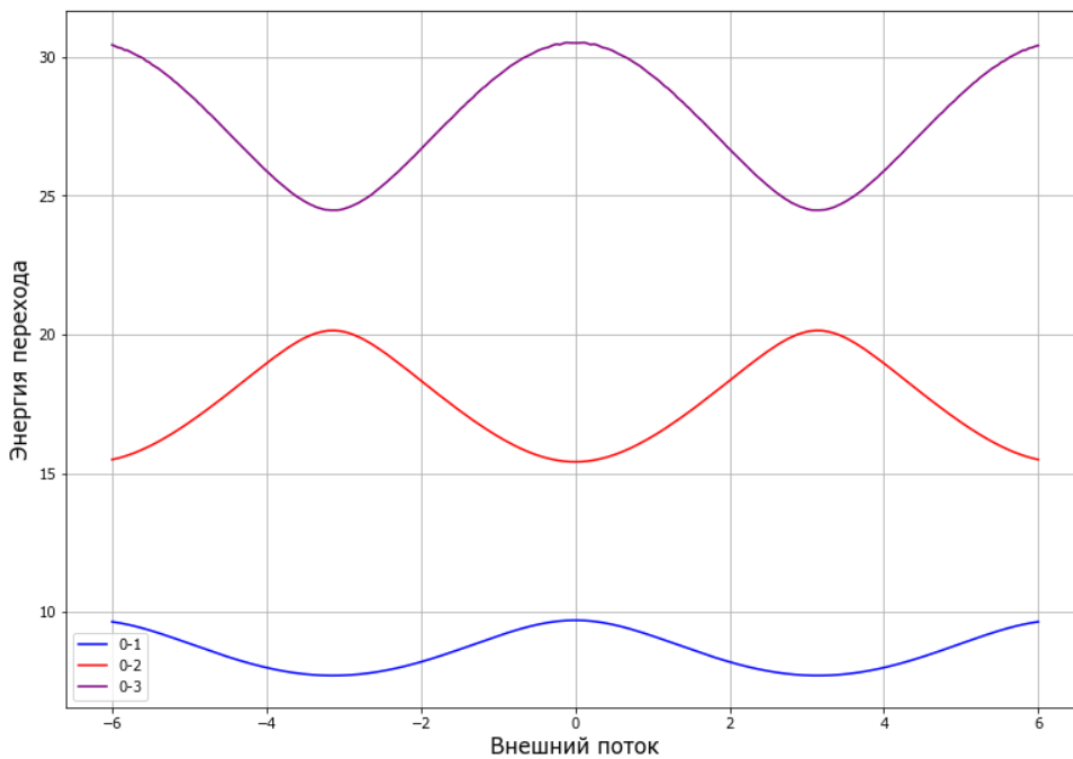
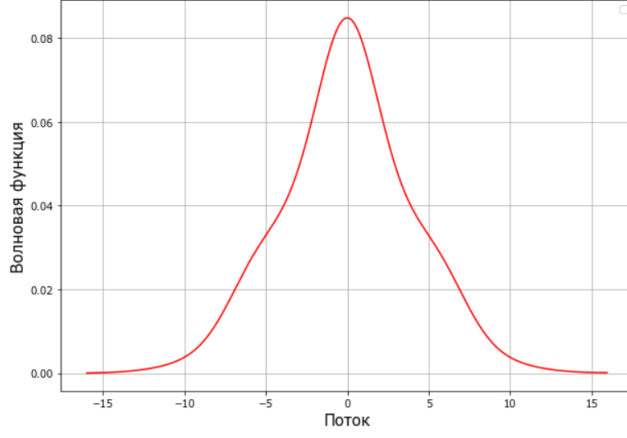
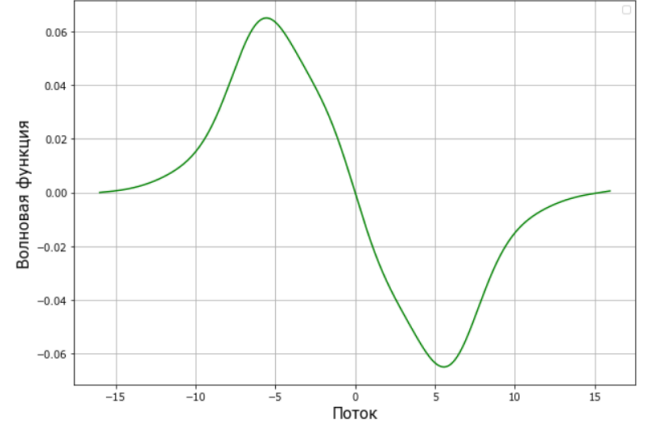


Рис. 3: Энергии переходов и основного состояния при  $E_L = 0.5$ ,  $E_J = 10$ ,  $E_C = 20$

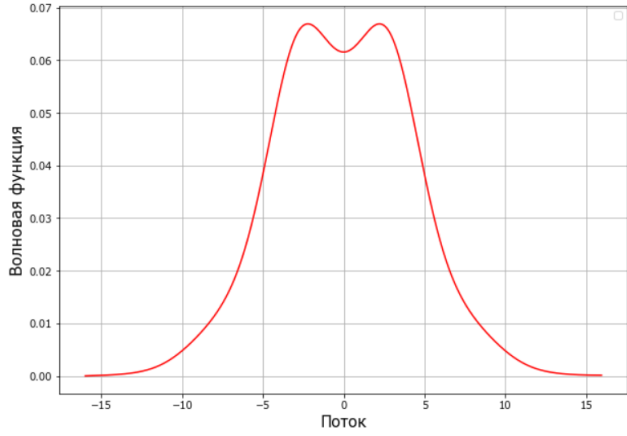
Построим численно волновые функции основного и первого возбуждённого состояний кубита при значениях внешнего потока  $\varphi_{ext} = 0$  и  $\varphi_{ext} = \pi$  (рис 4).



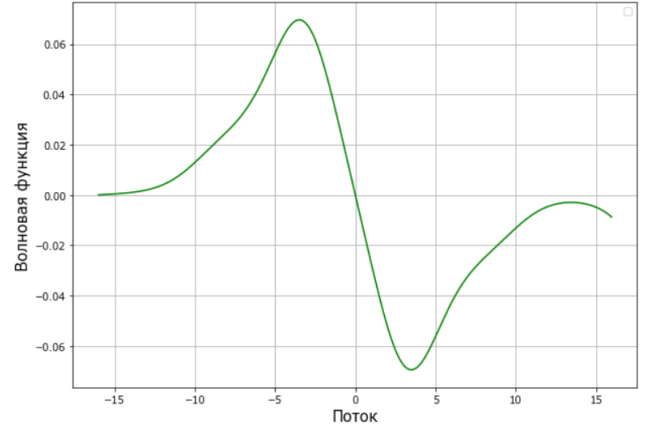
(a)



(b)



(c)



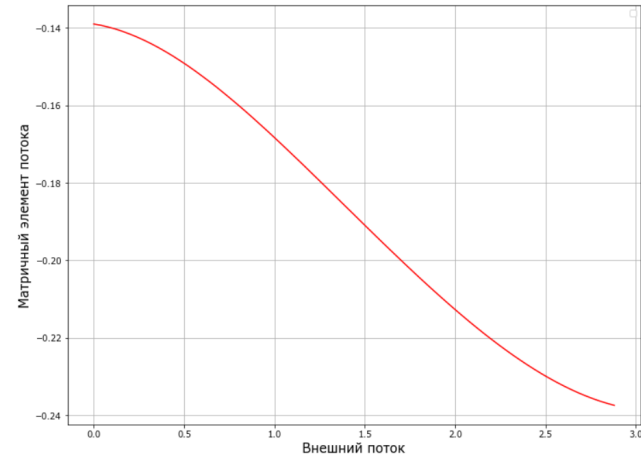
(d)

Рис. 4: (a) - волновая функция основного состояния при  $\varphi_{ext} = 0$ ; (b) - волновая функция первого возбуждённого состояния при  $\varphi_{ext} = 0$ ; (c) - волновая функция основного состояния при  $\varphi_{ext} = \pi$ ; (d) - волновая функция первого возбуждённого состояния при  $\varphi_{ext} = \pi$ ;  $E_L = 0.5$ ,  $E_J = 10$ ,  $E_C = 20$

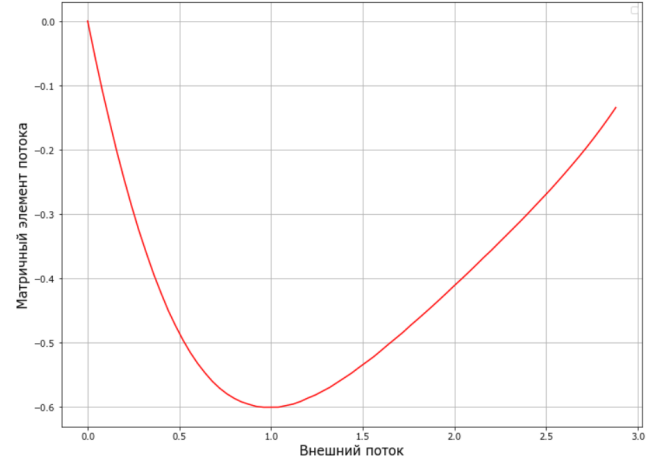
Вычислим матричные элементы  $\phi_{\alpha\beta}$  и  $n_{\alpha\beta}$  в как функции внешнего потока  $\varphi_{ext}$  (рис. 5).

$$\varphi_{\alpha\beta} = \int_{-\infty}^{+\infty} \psi_{\alpha}(\varphi) \varphi \psi_{\beta}(\varphi) d\varphi \quad (9)$$

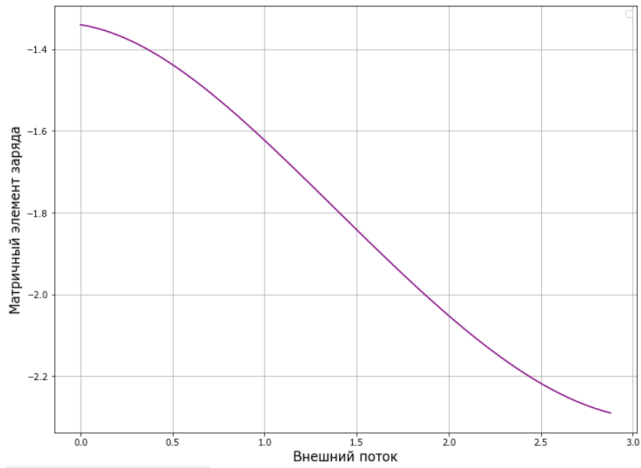
$$\alpha\beta = \varphi_{\alpha\beta} \nu_{\alpha\beta} R_Q C_J \propto \varphi_{\alpha\beta} \nu_{\alpha\beta} \quad (10)$$



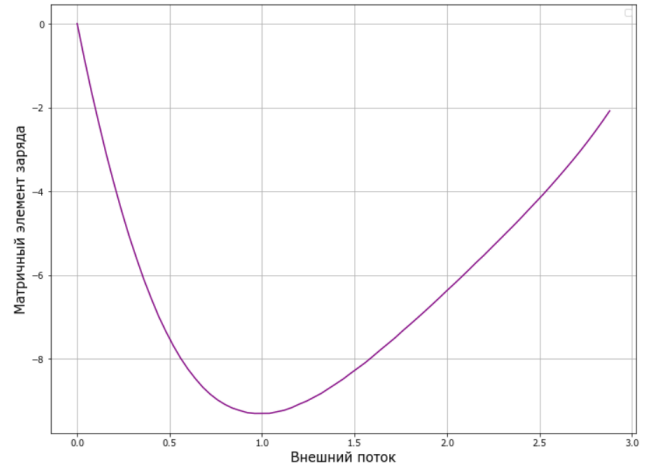
(a)



(b)



(c)



(d)

Рис. 5: (a) - матричный элемент  $\varphi_{10}$  перехода из первого возбуждённого в основное состояние; (b) - матричный элемент  $\varphi_{20}$  перехода из второго возбуждённого в основное состояние; (c) - матричный элемент  $n_{10}$  перехода из первого возбуждённого в основное состояние; (d) - матричный элемент  $n_{20}$  перехода из второго возбуждённого в основное состояние;  $E_L = 0.5$ ,  $E_J = 10$ ,  $E_C = 20$